

スカラー場理論における繰り込み群による量子誤り訂正の構成

桑原 孝明 (Takaaki Kuwahara)

arXiv:2211.05534, 共同研究者: 田中 豪太², 土屋 麻人¹, 山代 和志,

arXiv:2401.17795, 共同研究者: 那須 亮太¹, 田中 豪太², 土屋 麻人¹

2024 年 5 月 22 日, 京都大学 ウェルカムセミナー

¹ 静岡大学, ² 明治学院大学

経歴 2024年3月 博士（理学）静岡大学
2024年4月- 現職

出身 静岡市

キーワード 量子重力、バルク再構成、符号問題、
テンソルネットワーク、
テンソル繰り込み群



動機

AdS/CFT の文脈における，**境界上の場の理論からのバルク重力の構成** (Bulk reconstruction)

結果

- スカラー場について波動汎関数が従う厳密繰り込み群方程式を導出
- スカラー場の摂動論において，繰り込み群により量子誤り訂正を実現する例の構築 (本講演の主題)

内容

序論

MERA and AdS/CFT

厳密繰り込み群による連続テンソルネットワーク

量子誤り訂正と AdS/CFT

バルク局所性のパラドックス

量子誤り訂正符号

量子誤り訂正条件

Encoding a qudit at a point

AQEC for free scalar theory

ϕ^4 摂動論に対する誤り訂正条件

結論

序論

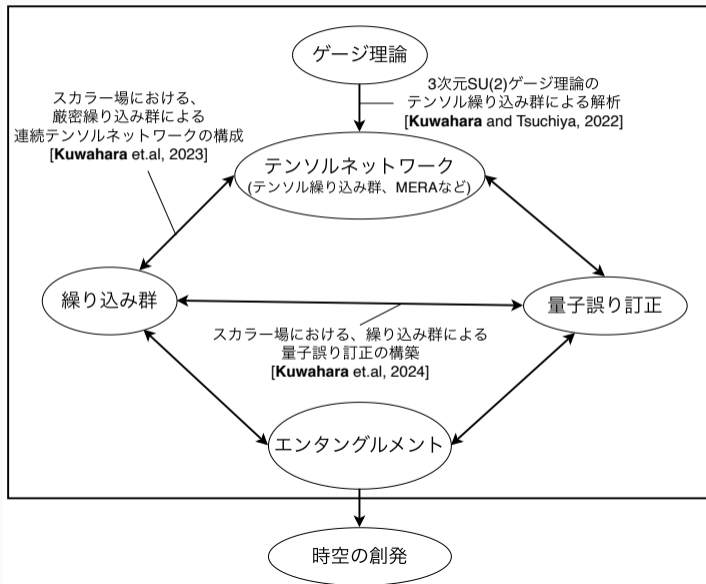
厳密繰り込み群による連続テンソルネットワーク

量子誤り訂正と AdS/CFT

量子誤り訂正条件

結論

バルク再構成に向けて



AdS/CFT 対応 [Maldacena, 1999]

AdS/CFT 対応

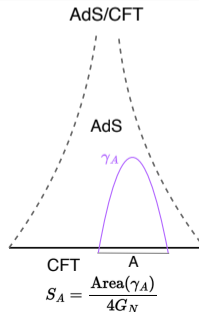
AdS 上の重力理論は，その境界の CFT と等価 [Maldacena, 1999]

古典重力 \Leftrightarrow ラージ N 強結合ゲージ理論

笠-高柳公式 [Ryu and Takayanagi, 2006]

$$S_A = \frac{\text{Area}(\gamma_A)}{4G_N}$$

エンタングルメント \Leftrightarrow バルク幾何



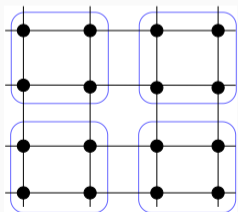
テンソルネットワークとは

テンソルネットワーク:

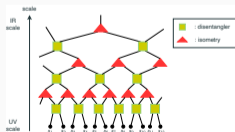
分配関数や波動関数をテンソル積で表現したもの: $T \otimes T \otimes \dots$

例

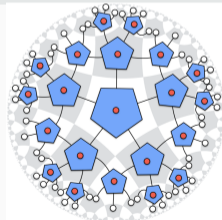
1. テンソル繰り込み群 \rightarrow 特異値分解による情報圧縮を利用した分配関数の計算
2. MERA \rightarrow 変分法による量子多体系の波動関数の計算
3. HaPPY code \rightarrow AdS/CFT 対応のバルク再構成を具現化し、量子誤り訂正の性質を備える
トイモデル [Almheiri et al., 2015, Pastawski et al., 2015]



1. テンソル繰り込み群



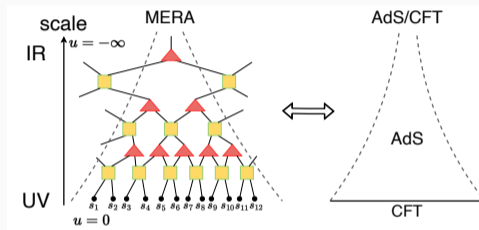
2. MERA



3. HaPPY code

([Pastawski et al., 2015])

境界理論が与えられたとき、
バルクの重力理論をどう構築するか？

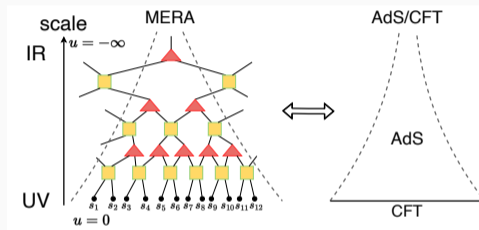


MERA と AdS/CFT の対応 [Nozaki et al., 2012].
バルクの方法は繰り込み群のスケールに対応

境界理論が与えられたとき、
バルクの重力理論をどう構築するか？
手がかり: [MERA](#) [Vidal, 2007] と [AdS/CFT](#) との対応
[Swingle, 2012]

[MERA](#):
基底状態の波動関数を求める数値手法

$$|\Psi\rangle = \sum_{\{s_i\}} \Psi_{s_1 s_2 \dots} |s_1 s_2 \dots\rangle$$
$$\sim \sum_{\{s_i\}} \Psi_{s_1 s_2 \dots}^{\text{trial}} |s_1 s_2 \dots\rangle$$



MERA と AdS/CFT の対応 [Nozaki et al., 2012].
バルク方向は繰り込み群のスケールに対応

1D MERA のエンタングルメントエントロピー

MERA の手順

1. ディスエンタングラーにより，隣接するサイト間のエンタングルメントを除去
2. アイソメトリーにより，隣接するサイトを effective なサイトに粗視化
3. 変分法を適用して，ディスエンタングラーとアイソメトリーを決定し，基底状態の波動関数 Ψ^{trial} を得る

1D MERA のエンタングルメントエントロピー

MERA の手順

1. ディスエンタングラーにより、隣接するサイト間のエンタングルメントを除去
2. アイソメトリーにより、隣接するサイトを effective なサイトに粗視化
3. 変分法を適用して、ディスエンタングラーとアイソメトリーを決定し、基底状態の波動関数 Ψ^{trial} を得る

エンタングルメントエントロピーは、**最小カット**

↳ $\min\{\#\text{Bonds}(\gamma_A)\}$ が横切るボンドの数で評価できる

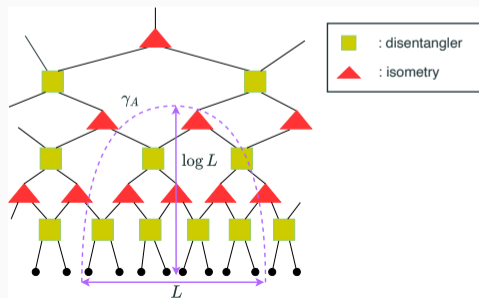
1D MERA の場合: $\min\{\#\text{Bonds}(\gamma_A)\} = \log L$

エントロピーは、各ボンドが最大限もつれているときが最大エントロピー (1 ボンドあたり $S = \log \chi$) となる

→ $S_A \leq \min\{\#\text{Bonds}(\gamma_A)\} \log \chi = (\text{const}) \cdot \log L$

⇒ 1次元臨界系の面積則 $S \sim \log L$
を不等式の形で再現

cf. 笠-高柳公式: $S_A = \frac{\text{Area}(\gamma_A)}{4G_N}$



MERA と AdS/CFT

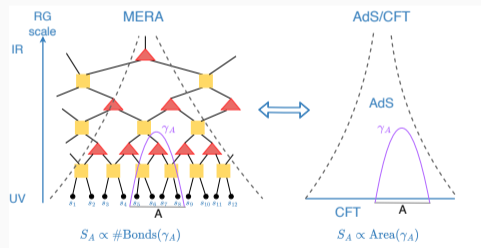
MERA ネットワーク \Leftrightarrow 離散的 AdS [Swingle, 2012]

↓

MERA により、バルク離散幾何の構築が可能

連続幾何を導きたい

\Rightarrow 連続テンソルネットワークを考える
(スケールが連続的なネットワーク)



Correspondence between MERA & AdS/CFT
 γ_A : minimal surface of A

厳密繰り込み群による連続テンソルネットワーク構成

- 連続幾何 → 連続テンソルネットワーク
- 古典的幾何を導く強結合理論 → 非摂動理論

⇒ 非摂動的な連続テンソルネットワークが不可欠

非摂動的な連続テンソルネットワークをどのように構築するか？

連続テンソルネットワークの構築

⇕ 等価

波動関数のスケール依存性の導出

(cf. RG スケールはバルク方向に対応)

非摂動的な連続テンソルネットワーク

⇒ 厳密繰り込み群 (ERG) により波動関数に対する汎関数微分方程式を導出する

厳密繰り込み群 (汎関数繰り込み群)

有効作用のスケール依存性を非摂動的に記述する汎関数微分方程式 (ERG 方程式) を与える枠組み

スカラー場理論における波動関数の ERG 方程式を考える

序論

厳密繰り込み群による連続テンソルネットワーク

量子誤り訂正と AdS/CFT

量子誤り訂正条件

結論

Polchinski 方程式

要請

分配関数は有効カットオフ Λ の微小変化の下で不変

Polchinski 方程式

要請

分配関数は有効カットオフ Λ の微小変化の下で不変

$$0 = -\Lambda \frac{\partial}{\partial \Lambda} \int \mathcal{D}\phi e^{-S_\Lambda[\phi]}$$
$$\Rightarrow -\Lambda \frac{\partial}{\partial \Lambda} e^{-S_\Lambda[\phi]} = \int_p \frac{\delta}{\delta\phi(p)} \left[G_\Lambda[\phi](p) e^{-S_\Lambda[\phi]} \right]$$

Λ : 有効カットオフ, S_Λ : 有効作用

$G_\Lambda[\phi](p)$: UV 正則化,
連続的なブロッキング (粗視化) に対応

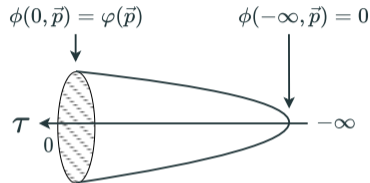
Polchinski 方程式

$$-\Lambda \frac{\partial}{\partial \Lambda} e^{-S_{\text{int}}} = -\frac{1}{2} \int_p \dot{C}_\Lambda(p) \frac{\delta^2}{\delta\phi(p)\delta\phi(-p)} e^{-S_{\text{int}}}$$

作用 $S_\Lambda = S_0 + S_{\text{int}}$ の相互作用項 S_{int} に対する汎関数微分方程式

波動汎関数の経路積分表示

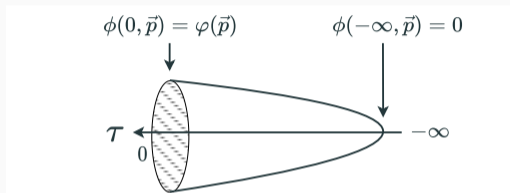
$$\begin{aligned}\Psi_{\Lambda}[\varphi(\vec{p})] &= \langle \varphi(\vec{p}) | \Psi_{\Lambda} \rangle \\ &= \int_{\phi(0, \vec{p}) = \varphi(\vec{p})} D\phi e^{-\int_{-\infty}^0 d\tau L_{\Lambda}[\phi]} \\ &\left(= \int_{\phi(0, \vec{p}) = \varphi(\vec{p})} D\phi e^{-\int_0^{+\infty} d\tau L_{\Lambda}[\phi]} \right)\end{aligned}$$



(assume $L_{\Lambda} \in \mathbb{R} \rightarrow \Psi_{\Lambda} \in \mathbb{R}$)

波動汎関数の経路積分表示

$$\begin{aligned}\Psi_{\Lambda}[\varphi(\vec{p})] &= \langle \varphi(\vec{p}) | \Psi_{\Lambda} \rangle \\ &= \int_{\phi(0, \vec{p}) = \varphi(\vec{p})} D\phi e^{-\int_{-\infty}^0 d\tau L_{\Lambda}[\phi]} \\ &\left(= \int_{\phi(0, \vec{p}) = \varphi(\vec{p})} D\phi e^{-\int_0^{+\infty} d\tau L_{\Lambda}[\phi]} \right)\end{aligned}$$



(assume $L_{\Lambda} \in \mathbb{R} \rightarrow \Psi_{\Lambda} \in \mathbb{R}$)

$$\Psi_{\Lambda}^2[\varphi] = \int \mathcal{D}\phi \prod_{\vec{p}} \delta[\phi(0, \vec{p}) - \varphi(\vec{p})] e^{-S_{\Lambda}[\phi]}$$

波動汎関数 Ψ_Λ に対する ERG 方程式

基底状態の波動関数についての ERG 方程式

$$\begin{aligned} -\Lambda \frac{\partial}{\partial \Lambda} \Psi_\Lambda = & -\frac{1}{2} \int_{\vec{p}} \dot{C}_\Lambda(0, \vec{p}) \left\{ \frac{\delta^2 \Psi_\Lambda}{\delta \varphi(\vec{p}) \delta \varphi(-\vec{p})} + \frac{1}{\Psi_\Lambda} \frac{\delta \Psi_\Lambda}{\delta \varphi(\vec{p})} \frac{\delta \Psi_\Lambda}{\delta \varphi(-\vec{p})} \right\} \\ & - \int_{\vec{p}} \frac{\dot{C}_\Lambda(0, \vec{p})}{C_\Lambda(0, \vec{p})} \varphi(\vec{p}) \frac{\delta \Psi_\Lambda}{\delta \varphi(\vec{p})} - \frac{V}{2} \Psi_\Lambda \int_{\vec{p}} \frac{\dot{C}_\Lambda(0, \vec{p})}{C_\Lambda(0, \vec{p})} \end{aligned}$$

⇒ 連続テンソルネットワークを記述

このネットワークがバルク再構成を記述することを示すには、以下が必要:

- エンタングルメント構造
- geometry の構造 (cf. Fisher metric [Nozaki et al., 2012])

しかし、厳密繰り込み群の解析は難しい

一般に、バルク再構成は量子誤り訂正と関係する

ERG 方程式の摂動解について量子誤り訂正との関係を調べる

序論

厳密繰り込み群による連続テンソルネットワーク

量子誤り訂正と AdS/CFT

量子誤り訂正条件

結論

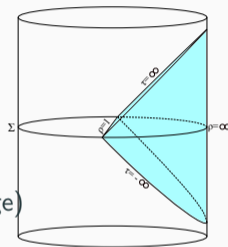
AdS-Rindler 再構成

AdS-Rindler 再構成:

$$\phi(x) = \int dY K(x; Y) \mathcal{O}(Y), \quad x \in W_C[A],$$

$W_C[A]$: AdS-Rindler wedge (causal wedge)

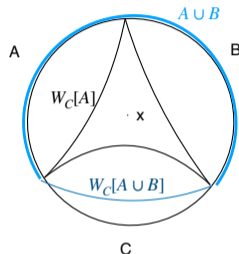
バルク演算子 $\phi(x)$ は, $x \in W_C[A]$ のとき,
境界演算子 $\mathcal{O}(Y)$ から再構成できる



[Almheiri et al., 2015]

AdS-Rindler reconstruction and bulk locality paradox

CFT の時間一定面 Σ を考える



AdS-Rindler 再構成を考えると、バルク演算子 $\phi(x)$ は A, B, C からは構成不可能だが、 $A \cup B, B \cup C, C \cup A$ からは構成可能 ($\phi_{AB}, \phi_{BC}, \phi_{CA}$)

しかし、局所性より $[\phi_{AB}, \mathcal{O}_C] = 0$. A, B, C の巡回置換もまた同様.

もし $\phi_{AB}, \phi_{BC}, \phi_{CA}$ が同一な演算子とすると、

Schur の補題から任意のバルク演算子は単位演算子になってしまう \Rightarrow paradox

これを解決するため、量子誤り訂正を導入

量子誤り訂正符号の例: qutrit code

Alice から Bob に 1 qutrit の量子状態 $|\psi\rangle = \sum_{i=0}^2 a_i |i\rangle$ を送りたい.

データにエラーが起こってスピンの壊れたときに元のデータを復元するには？

量子誤り訂正符号の例: qutrit code

Alice から Bob に 1 qutrit の量子状態 $|\psi\rangle = \sum_{i=0}^2 a_i |i\rangle$ を送りたい。

データにエラーが起こってスピンの壊れたときに元のデータを復元するには？

⇒ 状態の冗長化 (符号化) $|\psi\rangle \mapsto |\tilde{\psi}\rangle$

$$|\tilde{\psi}\rangle = \sum_{i=0}^2 a_i |\tilde{i}\rangle, \quad \{|\tilde{i}\rangle\} : \text{符号部分空間 (code subspace)}$$

を送ればよい。

$$|\tilde{0}\rangle = \frac{1}{\sqrt{3}} (|000\rangle + |111\rangle + |222\rangle)$$

$$|\tilde{1}\rangle = \frac{1}{\sqrt{3}} (|012\rangle + |120\rangle + |201\rangle)$$

$$|\tilde{2}\rangle = \frac{1}{\sqrt{3}} (|021\rangle + |102\rangle + |210\rangle)$$

復号化

3つ目の qutrit が壊れ、
符号化データを受け取った Bob が最初の 2 つの qutrit のみ読み取れたとする。

最初の 2 つの qutrit のみに作用するユニタリー変換 U_{12} :

$$\begin{aligned} |00\rangle &\rightarrow |00\rangle & |11\rangle &\rightarrow |01\rangle & |22\rangle &\rightarrow |02\rangle \\ |01\rangle &\rightarrow |12\rangle & |12\rangle &\rightarrow |10\rangle & |20\rangle &\rightarrow |11\rangle \\ |02\rangle &\rightarrow |21\rangle & |10\rangle &\rightarrow |22\rangle & |21\rangle &\rightarrow |20\rangle \end{aligned}$$

を符号化データ $|\tilde{\psi}\rangle$ に作用させると、

$$(U_{12} \otimes I_3) |\tilde{\psi}\rangle = \underbrace{|\psi\rangle}_{\text{original data}} \otimes \frac{1}{\sqrt{3}} (|00\rangle + |11\rangle + |22\rangle)$$

⇒ 誤りが訂正できた
この符号部分空間とエラーは、一般の誤り訂正条件 (Knill-Laflamme 条件) を満たす

誤り訂正条件

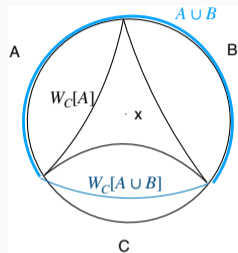
$$\langle \tilde{i} | E_a E_b | \tilde{j} \rangle \propto \delta_{ij}$$

$\{E_a\}$: エラー演算子

Quantum error correction and AdS/CFT

\tilde{O} は一般に 3 つの qutrit に非自明に作用するが、ユニタリー変換した演算子 $O_{12} \equiv U_{12}^\dagger O U_{12}$ は最初の 2 つの qutrit のみに非自明に作用する。同様に O_{23}, O_{31} も作れる
符号部分空間上ではいずれの演算子も同様に働く (同じ行列要素)

O_{12}, O_{23}, O_{31} は、
AdS-Rindler 再構成から作られるバルク演算子 $\phi(x)$ の表現
 $\phi_{AB}, \phi_{BC}, \phi_{CA}$ と対応
それぞれ異なる演算子だが、符号部分空間上では同様に働く



Quantum error correction and AdS/CFT

\tilde{O} は一般に 3 つの qutrit に非自明に作用するが、ユニタリー変換した演算子 $O_{12} \equiv U_{12}^\dagger O U_{12}$ は最初の 2 つの qutrit のみに非自明に作用する。同様に O_{23}, O_{31} も作れる
符号部分空間上ではいずれの演算子も同様に働く (同じ行列要素)

O_{12}, O_{23}, O_{31} は,

AdS-Rindler 再構成から作られるバルク演算子 $\phi(x)$ の表現

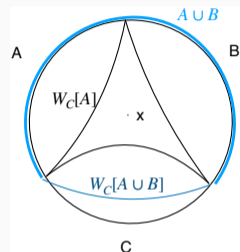
$\phi_{AB}, \phi_{BC}, \phi_{CA}$ と対応

それぞれ異なる演算子だが、符号部分空間上では同様に働く

AdS/CFT の符号部分空間は

$$|\Omega\rangle, \phi_i(x) |\Omega\rangle, \phi_i(x_1) \phi_j(x_2) |\Omega\rangle, \dots \quad (|\Omega\rangle : \text{基底状態})$$

の線形結合



Quantum error correction and AdS/CFT

\tilde{O} は一般に 3 つの qutrit に非自明に作用するが、ユニタリー変換した演算子 $O_{12} \equiv U_{12}^\dagger O U_{12}$ は最初の 2 つの qutrit のみに非自明に作用する。同様に O_{23}, O_{31} も作れる
符号部分空間上ではいずれの演算子も同様に働く (同じ行列要素)

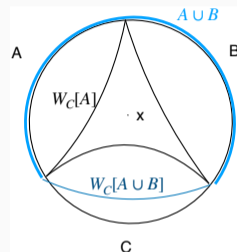
O_{12}, O_{23}, O_{31} は、
AdS-Rindler 再構成から作られるバルク演算子 $\phi(x)$ の表現
 $\phi_{AB}, \phi_{BC}, \phi_{CA}$ と対応
それぞれ異なる演算子だが、符号部分空間上では同様に働く

AdS/CFT の符号部分空間は

$$|\Omega\rangle, \phi_i(x) |\Omega\rangle, \phi_i(x_1) \phi_j(x_2) |\Omega\rangle, \dots \quad (|\Omega\rangle : \text{基底状態})$$

の線形結合

⇒ バルクの創発は、量子誤り訂正で記述される
局所性は符号部分空間上でのみ課せば Schur の補題は成り立たず、
バルクの自明理論を導かない □



ERG に基づく連続テンソルネットワークはバルクを再構成できるか？

⇒ (厳密) 繰り込み群により量子誤り訂正条件を構成

first step として、 ϕ^4 理論の ERG 方程式の摂動解を考える

$$\begin{aligned} -\Lambda \frac{\partial}{\partial \Lambda} \Psi_\Lambda = & -\frac{1}{2} \int_{\vec{p}} \dot{C}_\Lambda(0, \vec{p}) \left\{ \frac{\delta^2 \Psi_\Lambda}{\delta \varphi(\vec{p}) \delta \varphi(-\vec{p})} + \frac{1}{\Psi_\Lambda} \frac{\delta \Psi_\Lambda}{\delta \varphi(\vec{p})} \frac{\delta \Psi_\Lambda}{\delta \varphi(-\vec{p})} \right\} \\ & - \int_{\vec{p}} \frac{\dot{C}_\Lambda(0, \vec{p})}{C_\Lambda(0, \vec{p})} \varphi(\vec{p}) \frac{\delta \Psi_\Lambda}{\delta \varphi(\vec{p})} - \frac{V}{2} \Psi_\Lambda \int_{\vec{p}} \frac{\dot{C}_\Lambda(0, \vec{p})}{C_\Lambda(0, \vec{p})} \end{aligned}$$

序論

厳密繰り込み群による連続テンソルネットワーク

量子誤り訂正と AdS/CFT

量子誤り訂正条件

結論

Quantum error correction(QEC) condition

Knill-Laflamme condition(誤り訂正条件)

$$\langle \tilde{i} | E_a^\dagger E_b | \tilde{j} \rangle = M_{ab} \langle \tilde{i} | \tilde{j} \rangle$$

$|\tilde{i}\rangle$: 符号部分空間の基底

E_a, E_b : エラー演算子

M_{ab} : Hermite 行列

Encoding a qudit at a point[Furuya et al., 2022]

コヒーレント演算子 $D(irf_0)$ で張られる空間を符号部分空間とする

(f_0 : 実関数, r : level (from 0 to $q - 1$))

~ delta function at x_0 with width ϵ :

$$|r, x_0\rangle \equiv D(irf_0) |\Omega\rangle$$

エラー演算子: $D(iqf_0)$

e.g. ガウス波束

$$f_0(x) = \frac{1}{\sqrt{2\pi\epsilon^2}} e^{-\frac{(x-x_0)^2}{2\epsilon^2}}$$

$$\begin{aligned}\langle r', x_0 | r, x_0 \rangle &= \langle D(i(r-r'))f_0 \rangle \\ &= \delta_{rr'}\end{aligned}$$

$$\langle r', x_0 | D(iqf_0) | r, x_0 \rangle = \delta_{r', r+q} \Rightarrow \text{誤り訂正可能}$$

q-level state $|r\rangle$: IR 領域のコヒーレント状態

基底状態の繰り込み群のフロー U

$$|\Psi\rangle_{\Lambda} = U(\Lambda, \Lambda_{UV}) |\Psi\rangle_{\Lambda_{UV}}$$

U^{\dagger} を用いて符号化を定義

$$|\tilde{r}\rangle = U^{\dagger}(\Lambda, \Lambda_{UV}) |r\rangle$$

ϕ^4 理論の摂動 1 次の範囲で誤り訂正条件を満たすことを示す

エネルギースケール Λ の ERG 方程式の摂動 0 次の解:

$$\Psi_{\Lambda}^{(0)}[\varphi] = \mathcal{N}_{\Lambda} \exp \left[-\frac{1}{2} \varphi \cdot K^{-1} \omega_{\Lambda} \cdot \varphi \right]$$

\mathcal{N}_{Λ} : 規格化定数 ($\int \mathcal{D}\varphi \left| \Psi_{\Lambda}^{(0)}[\varphi] \right|^2 = 1$)

符号部分空間とエラー演算子

符号部分空間: UV でのコヒーレント状態

$$\text{span}(\{|rf_0\rangle\}_{\Lambda_{UV}}),$$

f : 任意の実関数

エラー演算子: IR(近傍) でのコヒーレント演算子

$$\{E_{\Lambda_{IR},a}\} = \{D(g) | g: \text{arbitrary real function}\}$$

生成消滅演算子

生成消滅演算子:

$$a_{\Lambda}^{(0)}(p) = \frac{1}{\sqrt{2}} \left(\sqrt{\frac{\omega_{\Lambda}(p^2)}{K(p^2)}} \varphi(p) + \sqrt{\frac{K(p^2)}{\omega_{\Lambda}(p^2)}} \frac{\delta}{\delta\varphi(-p)} \right)$$

$$a_{\Lambda}^{\dagger(0)}(p) = \frac{1}{\sqrt{2}} \left(\sqrt{\frac{\omega_{\Lambda}(p^2)}{K(p^2)}} \varphi(-p) - \sqrt{\frac{K(p^2)}{\omega_{\Lambda}(p^2)}} \frac{\delta}{\delta\varphi(p)} \right)$$

$$[a_{\Lambda}^{(0)}(p), a_{\Lambda}^{\dagger(0)}(q)] = \tilde{\delta}(p - q)$$

where $\omega_{\Lambda}(p^2) \equiv \sqrt{p^2 + \Lambda^{-2}m^2}$.

変換した演算子のスケーリング則:

$$a_{\Lambda_0}^{(0)}(p) + a_{\Lambda_0}^{\dagger(0)}(-p) = \sqrt{\frac{\omega_{\Lambda_0}(p^2)}{\omega_{\Lambda}(p^2)}} \left\{ a_{\Lambda}^{(0)}(p) + a_{\Lambda}^{\dagger(0)}(-p) \right\}$$

$$a_{\Lambda_0}^{(0)}(p) - a_{\Lambda_0}^{\dagger(0)}(-p) = \sqrt{\frac{\omega_{\Lambda}(p^2)}{\omega_{\Lambda_0}(p^2)}} \left\{ a_{\Lambda}^{(0)}(p) - a_{\Lambda}^{\dagger(0)}(-p) \right\}$$

自由スカラー場のコヒーレント状態

コヒーレント状態:

$$|f\rangle = \exp\left[\frac{1}{\sqrt{2}}(f \cdot a_{\Lambda}^{\dagger(0)} - f^* \cdot a_{\Lambda}^{(0)})\right] |\Psi\rangle$$

$|\Psi\rangle$: 基底状態

$${}_{\Lambda} \langle f' | f \rangle_{\Lambda} = \exp\left[-\frac{1}{2} \int_p (|f'(p)|^2 - 2f'(p)f^*(p) + |f(p)|^2)\right]$$

$f = r f_0$, f_0 : 任意の実関数 とする

$$|r f_0\rangle_{\Lambda} = \exp\left[-\frac{r}{\sqrt{2}} f_0 \cdot (a_{\Lambda}^{(0)} - a_{\Lambda}^{\dagger(0)})\right] |\Psi\rangle.$$

$$\begin{aligned} {}_{\Lambda} \langle r f_0 | r f_0 \rangle_{\Lambda} &= \exp\left[-\frac{1}{2}(r - r')^2 \int_p |f_0(p)|^2\right] \\ &\sim \delta_{rr'} \quad \text{when } \int_p |f_0(p)|^2 \gg 1 \end{aligned}$$

自由スカラー場の誤り訂正

エラー演算子は IR 領域のコヒーレント状態を作る演算子で定義:

$$D(g)_\Lambda = \exp \left[\frac{i}{\sqrt{2}} g \cdot (a_\Lambda^{(0)} - a_\Lambda^{\dagger(0)}) \right]$$

Λ_0 : bare スケール, g : 実関数, $\omega_\Lambda = \sqrt{m_{\Lambda_0}^2 \Lambda^{-2} + p^2}$

誤り訂正条件 ($D^\dagger(g')D(h') = D(h' - g') \equiv D(g)$):

$$\begin{aligned} & \Lambda_{UV} \langle r f_0 | D(g)_\Lambda | r' f_0 \rangle_{\Lambda_{UV}} \\ &= \exp \left[-\frac{1}{2} \int_p \left[-2(r - r') \sqrt{\frac{\omega_{UV,p}}{\omega_{\Lambda,p}}} g(-p) f_0(p) + \frac{\omega_{UV,p}}{\omega_{\Lambda,p}} |g(p)|^2 \right] \right]_{UVUV} \langle r' f_0 | r f_0 \rangle \end{aligned}$$

ω_Λ は RG flow で単調増加するため, IR 極限では g の寄与を無視できる
十分 IR に近づく場合 ($\Lambda/m \rightarrow 0$) を考えると,

$$\Lambda_{UV} \langle r f_0 | D(g)_\Lambda | r' f_0 \rangle_{\Lambda_{UV}} \sim \Lambda_{UV} \langle r' f_0 | r f_0 \rangle_{\Lambda_{UV}}$$

⇒ 誤り訂正可能

ERG 方程式の摂動一次の解の誤り訂正可能性を考える

基底状態の波動汎関数:

$$\Psi_\Lambda[\varphi] = \Psi_\Lambda^{(0)}[\varphi] + \alpha\Psi_\Lambda^{(1)}[\varphi] + O(\alpha^2)$$

生成消滅演算子

摂動一次の生成消滅演算子:

$$a_{\Lambda}(p) = a_{\Lambda}^{(0)}(p) + \alpha a_{\Lambda}^{(1)}(p) + O(\alpha^2)$$

$$a_{\Lambda}(p)^{\dagger} = a_{\Lambda}^{\dagger(0)}(p) + \alpha a_{\Lambda}^{\dagger(1)}(p) + O(\alpha^2)$$

$$\begin{aligned} a_{\Lambda}^{(1)}(p) &= \frac{\lambda}{3!} \int_{k_i} \frac{\tilde{\delta}(k_1 + k_2 + k_3 + p)}{\omega_{\Lambda}(k_1^2) + \omega_{\Lambda}(k_2^2) + \omega_{\Lambda}(k_3^2) + \omega_{\Lambda}(p^2)} \sqrt{\frac{K(p^2)}{2\omega_{\Lambda}(p^2)}} \left(\prod_{i=1}^3 \sqrt{\frac{K(k_i^2)}{2\omega_{\Lambda}(k_i^2)}} a_{\Lambda}^{\dagger(0)}(k_i) \right) \\ &\quad + \left(\frac{\delta m^2}{2} + \frac{\lambda}{4!} \int_q \frac{6K_{\Lambda}(q^2)}{2\omega_{\Lambda}(q^2)} \right) \frac{K(p^2)}{2\omega_{\Lambda}^2(p^2)} a_{\Lambda}^{\dagger(0)}(-p) \end{aligned}$$

$$\begin{aligned} a_{\Lambda}^{\dagger(1)}(p) &= \frac{\lambda}{3!} \int_{k_i} \frac{\tilde{\delta}(k_1 + k_2 + k_3 + p)}{\omega_{\Lambda}(k_1^2) + \omega_{\Lambda}(k_2^2) + \omega_{\Lambda}(k_3^2) + \omega_{\Lambda}(p^2)} \sqrt{\frac{K(p^2)}{2\omega_{\Lambda}(p^2)}} \left(\prod_{i=1}^3 \sqrt{\frac{K(k_i^2)}{2\omega_{\Lambda}(k_i^2)}} a_{\Lambda}^{(0)}(k_i) \right) \\ &\quad + \left(\frac{\delta m^2}{2} + \frac{\lambda}{4!} \int_q \frac{6K_{\Lambda}(q^2)}{2\omega_{\Lambda}(q^2)} \right) \frac{K(p^2)}{2\omega_{\Lambda}^2(p^2)} a_{\Lambda}^{(0)}(-p) \end{aligned}$$

$$[a_{\Lambda}(p), a_{\Lambda}^{\dagger}(q)] = \tilde{\delta}(p - q)$$

ϕ^4 摂動論についての誤り訂正条件

IR 近傍のエラー演算子:

$$D(g)_\Lambda = \exp \left[\frac{1}{\sqrt{2}} g \cdot (a_\Lambda - a_\Lambda^\dagger) \right]$$

IR 極限を考えると,

$$\Lambda_{UV} \langle r' f_0 | D(g) | r f_0 \rangle_{\Lambda_{UV}} \sim \Lambda_{UV} \langle r' f_0 | r f_0 \rangle_{\Lambda_{UV}}$$

⇒ 誤り訂正可能

繰り込み群によって、誤り訂正ができるような符号部分空間が構成された

序論

厳密繰り込み群による連続テンソルネットワーク

量子誤り訂正と AdS/CFT

量子誤り訂正条件




結論




まとめ

- スカラー場理論の波動関数から従う ERG 方程式の導出
- ERG 方程式の摂動解を用いて、繰り込み群から量子誤り訂正を実現する例の構築

展望

- ϕ^4 理論の非摂動論における誤り訂正条件
- CFT
- ゲージ理論
- エンタングルメント構造
- メトリック構造 (cf. Fisher metric [Nozaki et al., 2012])
- Numerical approach(テンソル繰り込み群などのテンソルネットワーク手法)

-  Almheiri, A., Dong, X., and Harlow, D. (2015).
Bulk Locality and Quantum Error Correction in AdS/CFT.
JHEP, 04:163.
-  Furuya, K., Lashkari, N., and Moosa, M. (2022).
Renormalization group and approximate error correction.
Phys. Rev. D, 106(10):105007.
-  Maldacena, J. M. (1999).
The Large N limit of superconformal field theories and supergravity.
Int. J. Theor. Phys., 38:1113–1133.

-  Nozaki, M., Ryu, S., and Takayanagi, T. (2012).
Holographic Geometry of Entanglement Renormalization in Quantum Field Theories.
JHEP, 10:193.
-  Pastawski, F., Yoshida, B., Harlow, D., and Preskill, J. (2015).
Holographic quantum error-correcting codes: Toy models for the bulk/boundary correspondence.
JHEP, 06:149.
-  Polchinski, J. (1984).
Renormalization and Effective Lagrangians.
Nucl. Phys. B, 231:269–295.



Ryu, S. and Takayanagi, T. (2006).

Holographic derivation of entanglement entropy from AdS/CFT.

Phys. Rev. Lett., 96:181602.



Swingle, B. (2012).

Entanglement Renormalization and Holography.

Phys. Rev. D, 86:065007.



Vidal, G. (2007).

Entanglement Renormalization.

Phys. Rev. Lett., 99(22):220405.

波動関数の表現

n 自由度系の波動関数

$$|\psi\rangle = \sum_{\{s_i\}} T^{s_1 s_2 \cdots s_n} |s_1 s_2 \cdots s_n\rangle$$

面積則を満たすように係数 $T^{s_1 s_2 \cdots s_n}$ を表したい

係数の構造をテンソルネットワーク図で表現する

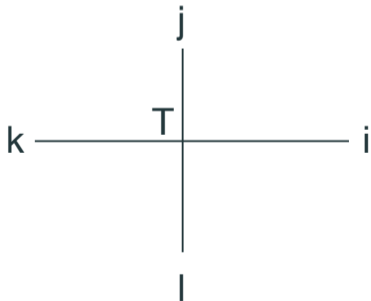
テンソルネットワーク図の notation

格子点 \leftrightarrow テンソル

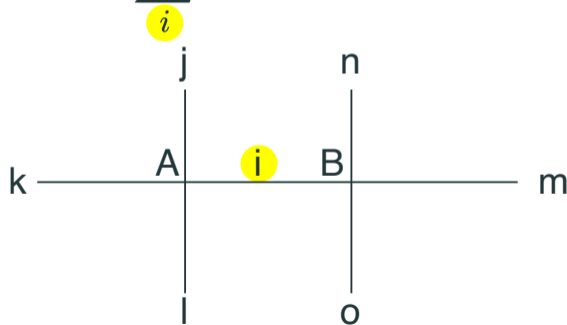
ボンド \leftrightarrow テンソルの添字

複数のテンソルに共有されているボンドは縮約する

$$T_{ijkl}$$



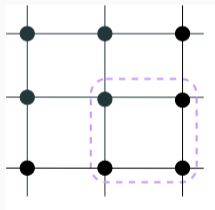
$$\sum_i A_{ijkl} B_{mnio}$$



TPS(tensor product state)

$$T^{s_1 s_2 \dots s_n} = \sum_{m_1, m_2, \dots} (A_1^{s_1})_{m_1 m_2 \dots} (A_2^{s_2})_{n_1 n_2 \dots \dots}$$

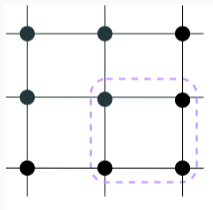
各ボンドには, maximally entangled pair が導入されている



TPS(tensor product state)

$$T^{s_1 s_2 \dots s_n} = \sum_{m_1, m_2, \dots} (A_1^{s_1})_{m_1 m_2 \dots} (A_2^{s_2})_{n_1 n_2 \dots}$$

各ボンドには, maximally entangled pair が導入されている

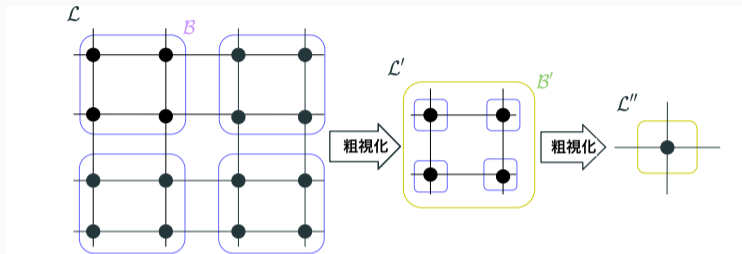


エンタングルメントエントロピー $S \leq N_{\text{bond}} \log \chi$

N_{bond} : 境界が切るボンドの数 ($\sim L^{d-1}$)

\Rightarrow 非臨界系の面積則 $S \sim L^{d-1} \log \chi$ を再現

実空間繰り込み群

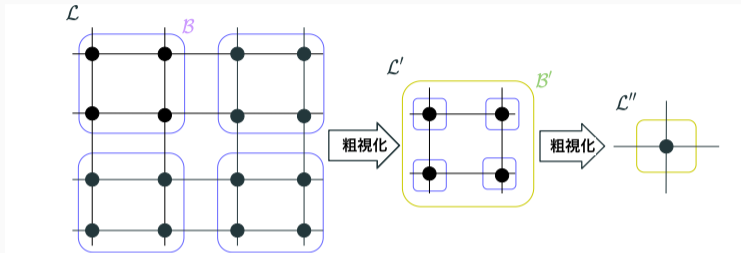


実空間繰り込み変換： Hilbert 空間の自由度を落とす変換（粗視化）

→ effective lattice $\mathcal{L}^{(n)}$ 上で物理量を計算

$$\mathcal{L} \rightarrow \mathcal{L}' \rightarrow \mathcal{L}'' \rightarrow \dots \mathcal{L}^{(n)}$$

実空間繰り込み群



実空間繰り込み変換： Hilbert 空間の自由度を落とす変換（粗視化）

→ effective lattice $\mathcal{L}^{(n)}$ 上で物理量を計算

$$\mathcal{L} \rightarrow \mathcal{L}' \rightarrow \mathcal{L}'' \rightarrow \dots \mathcal{L}^{(n)}$$

粗視化は isometry ω で特徴付けられる ($\omega^\dagger \omega = I$)

粗視化にしたがってエンタングルメントが切れるのが自然

→ disentangler の導入

Wave functional for a free theory

We can check that Ψ_0 , the ground-state wave functional of a free theory, satisfies the ERG equation

The wave functional

$$\Psi_{\Lambda}^{(0)}[\varphi(\vec{p})] = \int_{\phi(0,\vec{p})=\varphi(\vec{p})} D\phi e^{-\int_{-\infty}^0 d\tau L_0}$$

$$L_0 = \int_{\vec{p}} \frac{1}{2} K_{\vec{p}}^{-1} [\partial_{\tau} \phi(\tau, \vec{p}) \partial_{\tau} \phi(\tau, -\vec{p}) + (p^2 + m^2) \phi(\tau, \vec{p}) \phi(\tau, -\vec{p})]$$

$$\Psi_{\Lambda}^{(0)} = \exp \left[- \int_{\vec{p}} \frac{1}{2} K_{\vec{p}}^{-1} \omega_{\vec{p}} \varphi(\vec{p}) \varphi(-\vec{p}) + \frac{V}{4} \int_{\vec{p}} \log \left(2K_{\vec{p}}^{-1} \right) \omega_{\vec{p}} \right]$$

→ satisfies the ERG equation for the wave functional

Exact renormalization group(ERG)

Requirement

The partition function is unchanged
under the infinitesimal change of the effective cutoff Λ

Exact renormalization group(ERG)

Requirement

The partition function is unchanged
under the infinitesimal change of the effective cutoff Λ

$$0 = -\Lambda \frac{\partial}{\partial \Lambda} \int \mathcal{D}\phi e^{-S_\Lambda[\phi]}$$
$$\Rightarrow -\Lambda \frac{\partial}{\partial \Lambda} e^{-S_\Lambda[\phi]} = \int_p \frac{\delta}{\delta \phi(p)} \left[G_\Lambda[\phi](p) e^{-S_\Lambda[\phi]} \right]$$

Λ : the effective cutoff, S_Λ : the effective action

$G_\Lambda[\phi](p)$: the UV regularization,

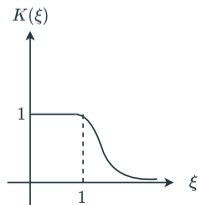
corresponds to a continuum blocking(coarse-graining) procedure

$$G_\Lambda[\phi](p) = \frac{1}{2} \dot{C}_\Lambda(p) \frac{\delta}{\delta \phi(-p)} (S_\Lambda - 2\hat{S})$$

\hat{S} : the seed action

$\dot{C}_\Lambda \equiv -\Lambda \partial_\Lambda C_\Lambda$: an ERG integration kernel

typically, $C_\Lambda(p) = K(p^2/\Lambda^2)/(p^2 + m^2)$



波動汎関数 Ψ_Λ に対する ERG 方程式

$-\Lambda \frac{\partial}{\partial \Lambda}$ を両辺に作用

$$-\Lambda \frac{\partial}{\partial \Lambda} \Psi_\Lambda^2[\varphi] = \int \mathcal{D}\phi \prod_{\vec{k}} \delta[\phi(0, \vec{k}) - \varphi(\vec{k})] \int_{\tau, \tau', \vec{p}} \frac{\delta}{\delta \phi(\tau, \vec{p})} \left[\frac{1}{2} \dot{C}_\Lambda(\tau - \tau', \vec{p}) \left\{ \frac{\delta}{\delta \phi(\tau', -\vec{p})} (S_\Lambda - 2S_0) \right\} e^{-S_\Lambda} \right]$$

代入:

$$\begin{cases} S_0 &= \int_p \frac{1}{2} \phi(p) C_\Lambda^{-1}(p) \phi(-p), \\ -\Lambda \frac{\partial}{\partial \Lambda} e^{-S_\Lambda[\phi]} &= \int_p \frac{\delta}{\delta \phi(p)} \left[\frac{1}{2} \dot{C}_\Lambda(p) \left\{ \frac{\delta}{\delta \phi(-p)} (S_\Lambda - 2S_0) \right\} e^{-S_\Lambda[\phi]} \right] \end{cases}$$

$$\Rightarrow \int \mathcal{D}\phi \prod_{\vec{k}} \delta[\phi(0, \vec{k}) - \varphi(\vec{k})] \int_{\tau, \tau', \vec{p}} \left[-\frac{1}{2} \dot{C}_\Lambda(\tau - \tau', \vec{p}) \frac{\delta^2}{\delta \phi(\tau, \vec{p}) \delta \phi(\tau', -\vec{p})} e^{-S_\Lambda[\phi]} \right]$$

$$- \int \mathcal{D}\phi \prod_{\vec{k}} \delta[\phi(0, \vec{k}) - \varphi(\vec{k})] \int_{\tau, \tau', \tau'', \vec{p}} \frac{\delta}{\delta \phi(\tau, \vec{p})} \left[\dot{C}_\Lambda(\tau - \tau', \vec{p}) C_\Lambda^{-1}(\tau' - \tau'', \vec{p}) \phi(\tau'', \vec{p}) e^{-S_\Lambda[\phi]} \right]$$

↑ $\tau = \tau' = 0$ (1 行目) & $\tau = 0$ (2 行目) を除き全微分項

典型的には、 $\dot{C}_\Lambda(0, \vec{p}) = \dot{K}(\vec{p}) / (2\sqrt{\vec{p}^2 + m^2})$, $K(\vec{p})$ は $\vec{p}^2 > \Lambda^2$ で damp

基底状態の波動関数についての ERG 方程式

$$\begin{aligned} -\Lambda \frac{\partial}{\partial \Lambda} \Psi_\Lambda &= -\frac{1}{2} \int_{\vec{p}} \dot{C}_\Lambda(0, \vec{p}) \left\{ \frac{\delta^2 \Psi_\Lambda}{\delta \varphi(\vec{p}) \delta \varphi(-\vec{p})} + \frac{1}{\Psi_\Lambda} \frac{\delta \Psi_\Lambda}{\delta \varphi(\vec{p})} \frac{\delta \Psi_\Lambda}{\delta \varphi(-\vec{p})} \right\} \\ &\quad - \int_{\vec{p}} \frac{\dot{C}_\Lambda(0, \vec{p})}{C_\Lambda(0, \vec{p})} \varphi(\vec{p}) \frac{\delta \Psi_\Lambda}{\delta \varphi(\vec{p})} - \frac{V}{2} \Psi_\Lambda \int_{\vec{p}} \frac{\dot{C}_\Lambda(0, \vec{p})}{C_\Lambda(0, \vec{p})} \end{aligned}$$

The Polchinski equation [Polchinski, 1984]

Take the seed action \hat{S} to the free part S_0

$$\hat{S} = S_0 = \int_p \frac{1}{2} \phi(p) C_\Lambda^{-1}(p) \phi(-p)$$

$$\begin{cases} -\Lambda \frac{\partial}{\partial \Lambda} e^{-S_\Lambda[\phi]} &= \int_p \frac{\delta}{\delta \phi(p)} [G_\Lambda[\phi](p) e^{-S_\Lambda[\phi]}] \\ G_\Lambda[\phi](p) &= \frac{1}{2} \dot{C}_\Lambda(p) \frac{\delta}{\delta \phi(-p)} (S_\Lambda - 2\hat{S}) \end{cases}$$

$$\Rightarrow -\Lambda \frac{\partial}{\partial \Lambda} e^{-S_\Lambda[\phi]} = \int_p \frac{\delta}{\delta \phi(p)} \left[\frac{1}{2} \dot{C}_\Lambda(p) \left\{ \frac{\delta}{\delta \phi(-p)} (S_\Lambda - 2S_0) \right\} e^{-S_\Lambda[\phi]} \right]$$

The Polchinski equation [Polchinski, 1984]

Take the seed action \hat{S} to the free part S_0

$$\hat{S} = S_0 = \int_p \frac{1}{2} \phi(p) C_\Lambda^{-1}(p) \phi(-p)$$

$$\begin{cases} -\Lambda \frac{\partial}{\partial \Lambda} e^{-S_\Lambda[\phi]} &= \int_p \frac{\delta}{\delta \phi(p)} [G_\Lambda[\phi](p) e^{-S_\Lambda[\phi]}] \\ G_\Lambda[\phi](p) &= \frac{1}{2} \dot{C}_\Lambda(p) \frac{\delta}{\delta \phi(-p)} (S_\Lambda - 2\hat{S}) \end{cases}$$

$$\Rightarrow -\Lambda \frac{\partial}{\partial \Lambda} e^{-S_\Lambda[\phi]} = \int_p \frac{\delta}{\delta \phi(p)} \left[\frac{1}{2} \dot{C}_\Lambda(p) \left\{ \frac{\delta}{\delta \phi(-p)} (S_\Lambda - 2S_0) \right\} e^{-S_\Lambda[\phi]} \right]$$

Put $S_\Lambda = S_0 + S_{\text{int}}$

The Polchinski equation for S_{int}

$$-\Lambda \frac{\partial}{\partial \Lambda} e^{-S_{\text{int}}} = -\frac{1}{2} \int_p \dot{C}_\Lambda(p) \frac{\delta^2}{\delta \phi(p) \delta \phi(-p)} e^{-S_{\text{int}}}$$

The functional differential equation for the interacting part of S_Λ

ERG eq for the interaction part of wave functionals

$$\Psi_{\Lambda}[\varphi] = \int_{\phi(0, \vec{p}) = \varphi(\vec{p})} D\phi e^{-\int_{-\infty}^0 d\tau (L_0 + L_{\text{int}})}$$

Parametrize

$$\Psi_{\Lambda}[\varphi] = e^{I[\varphi]} \Psi_{\Lambda}^{(0)}, \quad \Psi_{\Lambda}^{(0)}[\varphi]: \text{the free part of the wave functional}$$

$I[\varphi]: \text{the "interaction part" of } \Psi_{\Lambda}$

ERG eq for the interaction part of Ψ_{Λ}

$$-\Lambda \frac{\partial}{\partial \Lambda} I = -\frac{1}{2} \int_{\vec{p}} \dot{C}(0, \vec{p}) \left[\frac{\delta^2 I}{\delta \varphi(\vec{p}) \delta \varphi(-\vec{p})} + \frac{\delta I}{\delta \varphi(\vec{p})} \frac{\delta I}{\delta \varphi(-\vec{p})} \right]$$

Counterpart of the Polchinski equation